

沿岸海域の拡散現象と水産生物環境

農業土木試験場 水産土木 中村 充

1. はじめに

水産における海洋開発の工学的問題は、水産用施設の設計、施工に関する部門、水産生物環境の制御に関する部門および生物の物理環境反応に関する部門とに大別される。第一は主として力学的问题で人工魚礁や設置外力とか、養殖施設は勿論く波力といふものである。第二は水かよび海底環境の制御に関するもので、海水の流動・拡散促進工、海水の流動拡散抑止工、海底改善工からなる。第三は水産生物の流れに対する耐性とか、溶存酸素の許容濃度とかいった環境と生物のかかわり合いに関する問題を扱う。

ここでは主として第一の水産生物環境の制御に関して述べる。

2. 発生初期浮遊幼生の拡散と増殖

(1) 生物種の再生産

種のある stage の時間的変化量はこの stage の種の絶対量に比例する。すなはち、

$$\frac{dP}{dt} = (D - I)P \quad \dots \dots \dots (1)$$

ここに、 P ：種の存在量、 D ：種の消失率、 I ：種の減耗率、 t ：時間である。先ず種の発生から親となるまでの過程を考えよう。こうすると、発生率は0であるから

$$\frac{dP}{dt} = -IP \quad \dots \dots \dots (2)$$

ここで、 $I = \text{const.} = I_r$ と扱いえる時間区間 T_r について、(2)式の解は

$$P = A e^{-It} \quad \left. \begin{array}{l} \\ 0 \leq t \leq T_r \end{array} \right\} \quad \dots \dots \dots (3)$$

ここに、 A : $t = 0$ (時間区間の初期)における種の存在量である。さて種の発生量を P_0 、時間区分 T_r における減耗率を I_r とすれば、発生後の時刻における生残量 P は、

$$P_1 = P_0 e^{-I_r t}$$

$$P_2 = P_0 e^{-I_r T_0} e^{-I_r t}$$

$$P_n = P_0 e^{-(I_r T_0 + I_r T_1 + \dots + I_r t)} = P_0 e^{-(\sum_{i=0}^{n-1} I_r T_i + I_r t)} \quad \dots \dots \dots (4)$$

M を親の数、 P_m を親にまで成長し得た種の数、 m は親となるまでの stage 数とすると、再生産率 R は、

$$P_m = P_0 C^{\left(\frac{T_m}{T_0}\right)} \quad \dots \dots \dots (5)$$

$$R = \frac{P_m}{M} \quad \dots \dots \dots (6)$$

(4)あるいは(5)(6)式から増殖の方法について若干の考察を行はう。

さて、 P_m を増大させるには P_0 を増大させたり、 $\sum I_r T_i$ を小にすることである。 P_0 を増大させることは親集団を大にすることであり、 $\sum I_r T_i$ を小にすることは減耗を少なくすることである。

ここで P_m に対する P_0 は積の形であり、 $\sum I_r T_i$ はべき乗であることに注意を要する。図1にこの間の様子を示す。図中親集団を増大した場合と減耗因子を小にした場合との交点Aより左側で親となる場合は親集団を大にすることが有利であり、右側の場合には減耗因子を抑制することが有利である。

また、図2に示すように減耗因子を抑制する場合、各 stage における減耗が和の形であることが重要である。すなはち、 $I_r T_i$ の中で最も大きいものを小さくする必要で、次第にいくつも小さい因子をいくつも改善して P_m は大とならない。減耗因子 I_r の独立性の議論は残ろうが、現状における最大の阻害因子を知る上で、このようないくつか整理は重要なと考える。

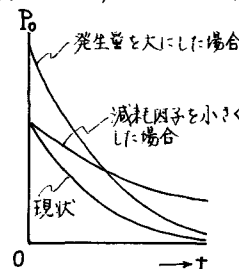


図1. 増殖の方法

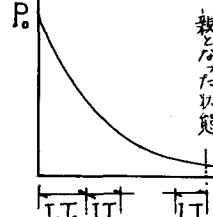


図2. 減耗因子と増殖

(2) Plankton Stage 幼生と拡散

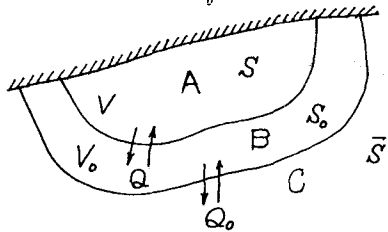


図3. 游遊幼生濃度と海域区分

親から発生して初期幼生は水中に拡散し、流れの影響を受けながら底層を求める。この間食害等の自然減耗を受けたり同時に流逝する。

初期幼生が発生して沿岸近傍に生残して着底する量は概略以下のように推算される。

いま最初の場合にはいく検討しあみよう。親から生れただけに沿岸海域(図3中のA)が、それ以外の海域(図3中のB)とC(底層)は海水交換を行ない、更に外縁海域の外側に外洋(図3中のC)があり、そこでは Q_0 (m³/日)なる海水交換が行われている。そして、それぞれの海域一人の中での游遊幼生濃度は一定値 S , S_0 , \bar{S} であるとする。そしてこれらの時間的变化を検討する。A, B, Cの海域区分は流路網調査等で完全混合と扱い得る領域とする。B海域がはく直ちにC海域にならがる場合もあれば。この場合、発生を受けた海域Aは稚貝として沈着する量 P_1 は(7)式で計算される。

$$\left. \begin{aligned} P_1 &= \frac{V e^{r T_0} + V_0 e^{-r T_0}}{V + V_0} P_0 e^{-I_0 t_0} + \ell T_H V \\ I_0 &= \frac{1}{2} (\alpha + \alpha_0 + \bar{\alpha}_0 + K + K_0) \\ r &= \sqrt{I_0^2 - (\alpha K + \alpha_0 K_0 + K \bar{\alpha}_0 + \bar{\alpha}_0 K)} \\ \ell &= \frac{\bar{S} \bar{\alpha}_0 \alpha}{\alpha K + K_0 \alpha + K \bar{\alpha}_0 + \bar{\alpha}_0 K} \\ (\alpha, \alpha_0, \bar{\alpha}_0) &= \left(\frac{Q}{V}, \frac{Q}{V_0}, \frac{Q_0}{V_0} \right) \end{aligned} \right\} \quad (7)$$

ここに、 V, V_0 : A, B海域の平均水容積(m³)

Q, Q_0 : A-B, B-C海域間の海水交換量

T_0, T_H : 幼生の游遊期間、産卵期間の長さ

K, K_0 : A, B海域の自然減耗率

S : C海域の游遊幼生濃度

P_0 : 産卵期間中の全発生量

(IV)式は以下のように導かれる。

A, B海域の游遊幼生濃度を S, S_0 とし、単位時間当りの発生量を P として、A, B海域の游遊幼生の收支式はそれぞれ、

$$\dot{S} = \{P - (S - S_0)Q - KS\} / V$$

$$\dot{S}_0 = \{(S - S_0)Q - K_0 S_0 V_0 - (S_0 - \bar{S})Q_0\} / V_0$$

両式より S_0 を消去して

$$\ddot{S} + \{(d + K) + (\alpha_0 + K_0 + \bar{\alpha}_0)\} \dot{S} - \{d \alpha_0 - (\alpha_0 + K_0 + \bar{\alpha}_0)\}$$

$$(d + K) \dot{S} = \frac{P}{V} (\alpha_0 + K_0 + \bar{\alpha}_0) + \frac{P}{V} + \bar{S} d \alpha_0 \quad \cdots \cdots (8)$$

(8)式に $P = F(t)$ を代え(積分すればよい)。游遊幼生は発生後丁度時間 t で遊遊し、その後着底するので、 $t = 0$ で発生して群の濃度 S_t を求める。(8)式とよくに当たる条件を物理的説明に主体と置い、 $K = K_0 = 0$ とし、

$$t = 0 \text{ 時}, \quad S_t = P/V + \bar{S}$$

$$t = \infty \text{ 時}, \quad \bar{\alpha}_0 = 0 \text{ のとき } S_t = P/(V + V_0) + \bar{S} \\ \bar{\alpha}_0 \neq 0 \text{ のとき } S_t = \bar{S}$$

の条件で積分して

$$S_t = \frac{P}{V} \cdot \frac{V e^{rt} + V_0 e^{-rt}}{V + V_0} e^{-I_0 t} + C \quad \cdots \cdots (9)$$

$t = T_0$ で着底するのでA海域内の着底量は $S_{T_0} V$ 、産卵全期間では、

$$P_1 = \int_{T_0} S_{T_0} V dt$$

となり(7)式を得る。

[例] 熊本県の筑前、白川河川・射場のアサリの游遊幼生

この海域はアサリ・ハマグリの好漁場であり、図4に示す游遊幼生分布が勘定され、A海域は10m以上以浅、B海域5~10m深、C海域は10m以上と区別される。そうすると概略

$$A \text{ 海域水容積} \quad V = 6.7 \times 10^7 \times 2.5 = 1.68 \times 10^8$$

$$B \text{ 海域水容積} \quad V_0 = 4.6 \times 10^7 \times 7.5 = 3.45 \times 10^8$$

$$\text{larva 自然減耗率} \quad K = K_0 = 0.052 \text{ (半日)}$$

(注: 上城(大分水試)によるハマグリの値を代用)

$$\alpha_0 / \alpha = V / V_0 = 0.47$$

$$d_0 = 0.43 \text{ (半日)}$$

(注. 水上恒流 0.15 m/sec , 対象海域 15 km として恒流によって流去するとした。)

とおいて、海水交換率 γ , d_0 によってどのような larva 濃度となるかを求めてみる。

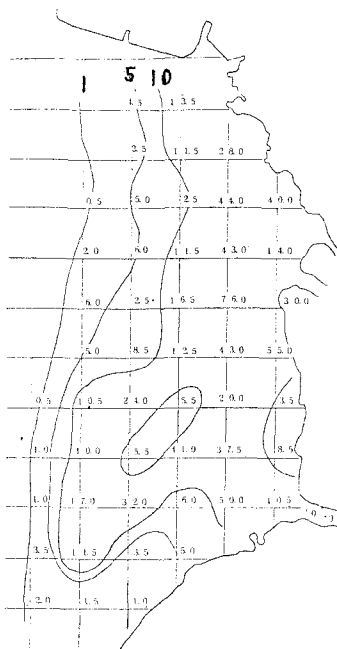


図4. 幼生分布図(個/ m^3)

観測された
larva 濃度は発
生初期のものか
ら着底直前のも
のまでと考えら
れるから、(9)式
を用いる。

また、観測結
果では沖合に向
けて急激に larva
量が減っており
A 海域平均 24000
個/ m^3 に対し、
C 海域は 500 個/ m^3
以下であるので
C 海域の larva
濃度 S を省略す
る。そうすると、

$$\begin{aligned} S &= \int_0^{T_0} S_t dt \\ &= \frac{P}{V + V_0} \left[\frac{1}{\gamma - I_0} \left\{ e^{(\gamma - I_0)T_0} - 1 \right\} - \frac{d/d_0}{\gamma + I_0} \left\{ e^{-(\gamma + I_0)T_0} - 1 \right\} \right] \quad (10) \end{aligned}$$

(10)式を用いて S を計算すると図5のようになる。

さて P の値は当地区漁獲量の5年平均は、 16000 トン
(あり、主産卵期は7~11月の5ヶ月であるので概略
単位時間(1干満、半日)当たり約

$$P = \frac{16000 \times 10^6 \times 5 \times 10^5}{5 \times 2 \times 30 \times 5 \times 2} = 2.7 \times 10^{12}$$

と見る。ここに1個体重を 5 gr とし放卵量を 50 万粒/
個とし、雌雄比を $1:1$ としてある。

海水交換率 γ , 自然減耗率 K , K_0 等に不十分な点
もあるが、主たる減耗因子 I_0 を観測値で定めるこ^ト
にする。

調査結果によれば A 海域 larva 濃度平均 24000 個/ m^3
であるが、殻長別実測個体数から発見率を考慮した=A
海域の larva 濃度は、

$$S = 52000 \text{ 個}/\text{m}^3$$

と考えられる。

さて A 海域濃度 52000 個/ m^3 となるようなら d_0 や I_0
を求めるに図5で

$$\frac{S}{P} = \frac{52000}{2.7 \times 10^{12}} = 1.9 \times 10^{-8}$$

よって、 $\gamma = 0.14$ (半日) や $I_0 = 0.379$ (半日)
である。

よって年間の larva 着底個数 P_1 は以下のよう
になる。以下の数を(7)式に代入する。

$$V = 1.68 \times 10^8 \text{ m}^3$$

$$V_0 = 3.45 \times 10^8 \text{ m}^3$$

$$K = K_0 = 0.052 \text{ (半日)}$$

$$\gamma = 0.14 \text{ (半日)}$$

$$d_0 = 0.0658 \text{ (半日)}$$

$$d_0 = 0.43 \text{ (半日)}$$

$$I_0 = 0.379 \text{ (半日)}$$

$$T_0 = 36 (= 18 \text{ 日})$$

これらの値を用いて

$$\gamma = 0.2181$$

$$P_1 = 1.00 \times 10^{-3} P_0$$

P_0 の値は前述の成貝量 16000 ト^ン、1個体重 5 gr
産卵量 50 万粒/個、雌雄比 $1:1$ として

$$P_0 = \frac{16000 \times 10^6 \times 5 \times 10^5}{5 \times 2} = 8 \times 10^4 \text{ 個}$$

よって

$$P_1 = 8 \times 10^{11} \text{ 個}$$

である。

単位面積当りの着底個数にすれば

$$a = \frac{8 \times 10^{11}}{6.7 \times 10^7} = 1.2 \times 10^4 \text{ 個}/\text{m}^2$$

以上の推定値は各種の条件設定があり、特に産卵資
源量、自然減耗率、海水交換などによって上記の数値
は異なるよう考へられる。しかし、最大の条件であ
る減耗速散率 I_0 や産卵資源量との相乗値を実測
値によって求めたことになるので、個々の因子に若干
の相違があつても上記の数値は大きくは変わらない精度

るものであると考えられる。

さて、1年間ににおける沈着稚貝量 $\alpha = 12,000$ 個が十分な量であるか否かは沈着後の減耗率によって検討される。この海域で作成した計画があり、これによつて海水交換率 β が5割強となり、

$$\alpha = 0.21$$

となつたと仮定すれば

$$\alpha_0 = 0.0987$$

$$I_0 = 0.430$$

$$\gamma = 0.232$$

$$P_1 = 2.63 \times 10^4 P_0$$

$$= 2.13 \times 10^{11}$$

$$a = 3.17 \times 10^3 \text{ 個/m}^2$$

となり、着底稚貝数が約1/4となる。

この例に見る如く、浮遊幼生の沈着における拡散が大きく関係していることが判る。減耗因子 I_0 に占める拡散と自然減耗の割合は

$$\frac{\alpha + \alpha_0 + \bar{\alpha}_0}{K + K_0} = 6.1$$

有明海に面した閉鎖的な海域でさえ拡散の方が大きな割合を占める。

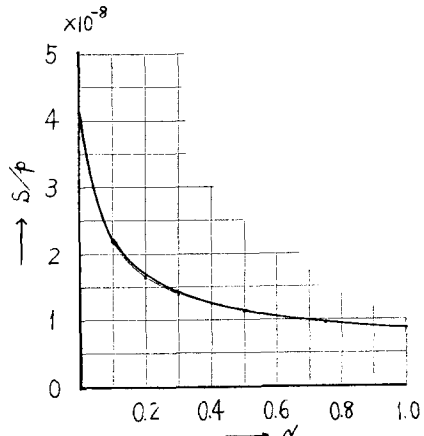


図5. 海水交換率とlarva濃度発生量比

3. 海水の流動拡散促進工の現状

この技術は主として養殖場や内湾など汚染し易い海域の浄化技術である。これには潮流利用・潮流利用・内部波利用などがある。湾口が狭く上げ潮で流入・下げ潮で流出するような湾では、湾口が狭すぎると湾内の水位が十分上昇しないうちに外海は下げ潮になってしまい、干溝差が外海にいたし著しく小さい場合には湾

口を拡大することによって内外海水の交流量を増大させることができる。

また湾口が広過ぎる時は湾口流速が小さく、流入水が湾奥へ到達せず湾口附近に漂よつて次の下げ潮で流出し海水交換が起らぬ場合には湾口を縮小する。このような閉鎖性の湾では海水交換を最大にする最適湾口規模が存在し、この規模とする湾口改善技術があり、京都府久美浜湾をはじめ数例の事業が行なわれている。水深4~5m以下の浅い湾・潟では作成工がある。これは水深が浅いため、水が下げ潮で湾口に近くなりながら、次の上げ潮で戻つてしまい海水の交換が悪い所に用いる。湾口から湾奥に開口のように導筋(ミオ筋)と振る。ミオ部は海底抵抗が相対的に小さくなつて流速が速くなり、海水の流動は主としてここを通つて行なわれるようになり、外海との海水の支流・交換を大にすることができる。これは松島湾や松川浦ほか多くのノリ・カキ漁場で実施されている。この工法は深くなると有効でなくなる。水深が大きい場合で往復潮流のある場合には図7に示す潮流制御が有効である。これは潮流エネルギーの利用型であり、流動エネルギーがありながら海水交換に役立つていよい場合に用いる。図7の導流堤配置で往復潮流は実線方向に流れ易く、点線方向に流れにくい(流れ易さの差約5割)。したがく海水は実線方向に歓迎流動し海水交換が大となる。この工法は規模の大小に関わらず流れの運動エネルギーが大きくなる程有効である。筆者がこの導流堤工法を瀬戸内海の明石海峡に適用した場合の試算では、瀬戸内海と黒潮の海水交換は約7倍となり、現状直前の水質汚濁は解消する。工費は約2,000億円程度である。瀬戸内海の浄化と黒潮系の水産生産力の増大を考えれば詳細に検討する価値のあることである。図8は波エネルギー利用の海水流動促進工で波エネルギーをV字型に狭窄して集中し堤上を越波させて平均水位を高め、この水位差で水を導流する。岩手県種差町の平崎の岩盤作成(シング・アソビ・シニの増殖溝)の溢水に用いている。

4. 海水の流動拡散抑制工の現状

この技術は増殖対象種の環境造成に最も重要な技術といえる。水の栄養度、水温、溶存酸素その他適正水環境として水塊を流去させるところなく、この場で対象種の保護育成を図るのである。しかも水を淀ませる：

とのない環境になりがちだ。

ある海域の水を淀ませることなく、それどころか海流などの全主流によく流れられない水塊形成技術である。この一方では循環流形成技術である。循環流域の水は、この周囲を流れぐ一般流から独立した水塊形成ができる。図9は一部が水面下にある堤防で、これに波が当たると水面下にあら堤頂では波のエネルギーが流れのエネルギーとなり(図のように循環流ができる)一般流から独立できる。この工法は岩手県田老町アリゴ洋遊幼生の移動抑制に用いられてしている。

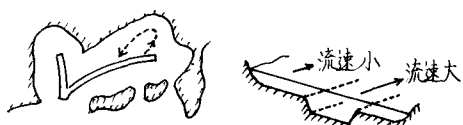


図6. ミオ筋工による海水交換の促進

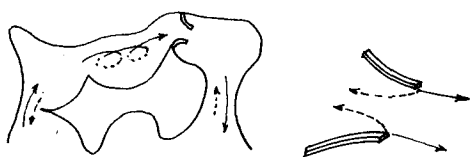


図7. 導流堤による潮流制御

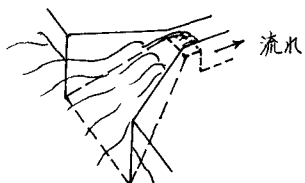


図8. 波エネルギー集中による越波取水工

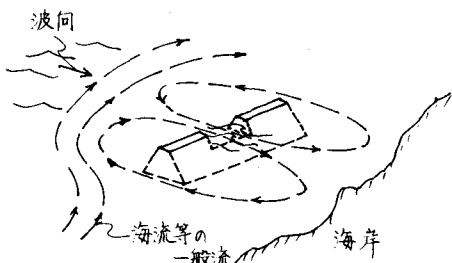


図9. 波による循環流の発生と一般流からの独立水塊形成

また図7に示す潮流制御工を利用して浮遊期幼生の育成場、幼稚仔保育場への輸送を行なうとともに検討している。

5. 海水の流動拡散促進、抑止工の展望

海水の流動拡散制御は原則的に、潮汐、潮流、波などの自然エネルギーを利用して行なう。このための諸工法の開発を行なってきたが、これに加えて新たに内部波エネルギー利用をあげておく。これらのエネルギーを地形性構造物によって制御しようというのである。

(1) 海底堤防による内部波制御

内部波が陸棚斜面、海谷上縁あるいは湾内に侵入してくると、内部鉛直波状、あるいは内部流となる。波峰分裂あるいは内部跳水を生じ沿岸混合域を作る。この結果の一つは底層水を湧昇させて表層水の富栄養化、水温の平均化、漂流・懸濁物の集積、流れ場の局所性に起因する底質環境の多様化、加速流、減速流、憩流場の混在、など好ましい漁場環境が作られ、またこの現象を湾内で発生させれば着しい海水交換促進工となる。図10は内部波説明の模式図(スライドで示す)である。

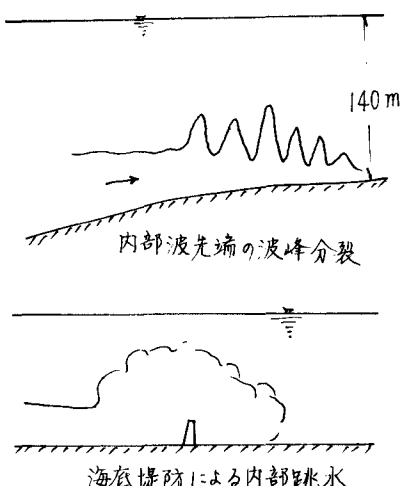


図10. 内部波の事例

図11は内部潮汐(潮流による内部波)が湾の海水交流に大きく影響している例で、図12は高知県にある野見湾の例である。野見湾は須崎湾に接続し、同湾は新莊川、伊予浅川、桜川他の河川が流入し、表

層間分濃度が低い。図11(b) に湾軸I-I'に沿った塩素量鉛直分布模式図を示す。これによると湾奥に湾口底層水に接続する水層があり、湧昇流域の存在することが判る。また図11(c)は湾口II-II'断面における流速分布の一例を示す。漲潮時には表層が流出、底層が流入し、落潮時は底層より流出、表層より流入が起つてゐる。この湾の流れは、底層の流れが支障的で潮汐に対応して流入出が生じ、表層流は底層流の補償流として運動している。湾口通水断面積はII-II'断面で $2.4 \times 10^4 \text{ m}^2$ であるから Tidal volume による流速は日潮不等における低潮差 0.3 m、高潮差 1.06 m に対応してこれぞ水の平均流速 0.0024 m/sec 、 0.0084 m/sec 、最大流速 0.0032 m/sec 、 0.011 m/sec であり、測得流速はそれぞれ 0.32 m/sec 、 0.2 m/sec と潮汐による断面平均流速とは比較にならず、よに必ずしも潮差の大小によることない。密度成層のため海洋空間では内部波エネルギーは海水流動に大きく寄与していることが判る。

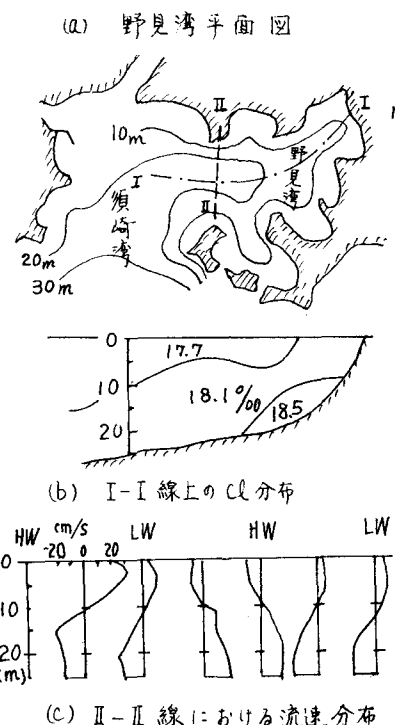


図11. Noto Bayにおける海水交換

(2) 人工岬による流れのハフ離と降下・湧昇流半島・岬など突入海岸の周辺に良好漁場が形成されている。これは岬による流れのハフ離とその内側の反流域の形成など流れの多様性の中での水質、底質の多様性を生じるためと考えられる。ハフ離線は図12に示す複数結果等から降下流帶を形成し潮流を形成する。岬等地形規模が小さいとハフ離を生じにくくなるペテンシャル流線に近い流れとなり、水理環境として岬は存在しないと同じとなる。このように岬規模を工的補完して、岬としての水理環境をもたらすことが考えられる。一例を葛根島長尾瀬における実測例で示す。複数の複数の海流板をほぼ 300 m の正方形状に投入し、陸上よりトラック追跡した。海流板水深と水面下 2 m と 25 m の 2 種を行なつた。十個の海流板で作る面積とし、平面流速を \bar{v}_s とすると、

$$\operatorname{div} \vec{v} = \operatorname{div} \vec{v}_s + \frac{\partial w}{\partial z} = 0$$

$$\therefore \frac{\partial w}{\partial z} = -\operatorname{div} \vec{v}_s \text{ また } \operatorname{div} \vec{v}_s = \frac{1}{S} \frac{dS}{dt}$$

水深区における発散を近似的に

$$\operatorname{div} \vec{v}_s = A z + B$$

$$\text{とすると, } z = 0 \text{ で } B = (\operatorname{div} \vec{v}_s)_{\text{surf}}$$

$$z = h \text{ で } (\operatorname{div} \vec{v}_s)_{\text{bot}} = Ah + B$$

$$\therefore A = \frac{1}{h} \{ (\operatorname{div} \vec{v}_s)_{\text{bot}} - (\operatorname{div} \vec{v}_s)_{\text{surf}} \}$$

これから、鉛直平均流速は

$$\bar{w} = -\frac{h}{6} \{ (\operatorname{div} \vec{v}_s)_{\text{bot}} + 2(\operatorname{div} \vec{v}_s)_{\text{surf}} \}$$

として求められる。これから一例として図12のA線に沿って $\bar{w} = -10^{-1} \text{ cm/sec}$ 、B線沿い $= +3 \times 10^{-2} \text{ cm/sec}$ 程度が得られる。

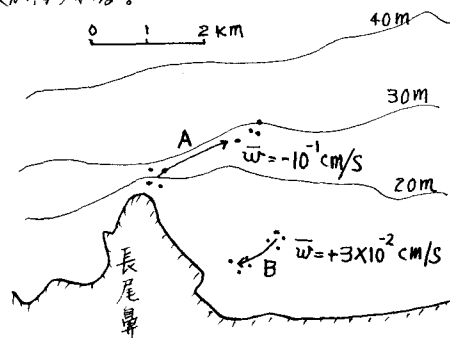


図12. 海流板追跡 (S.51.8.23)